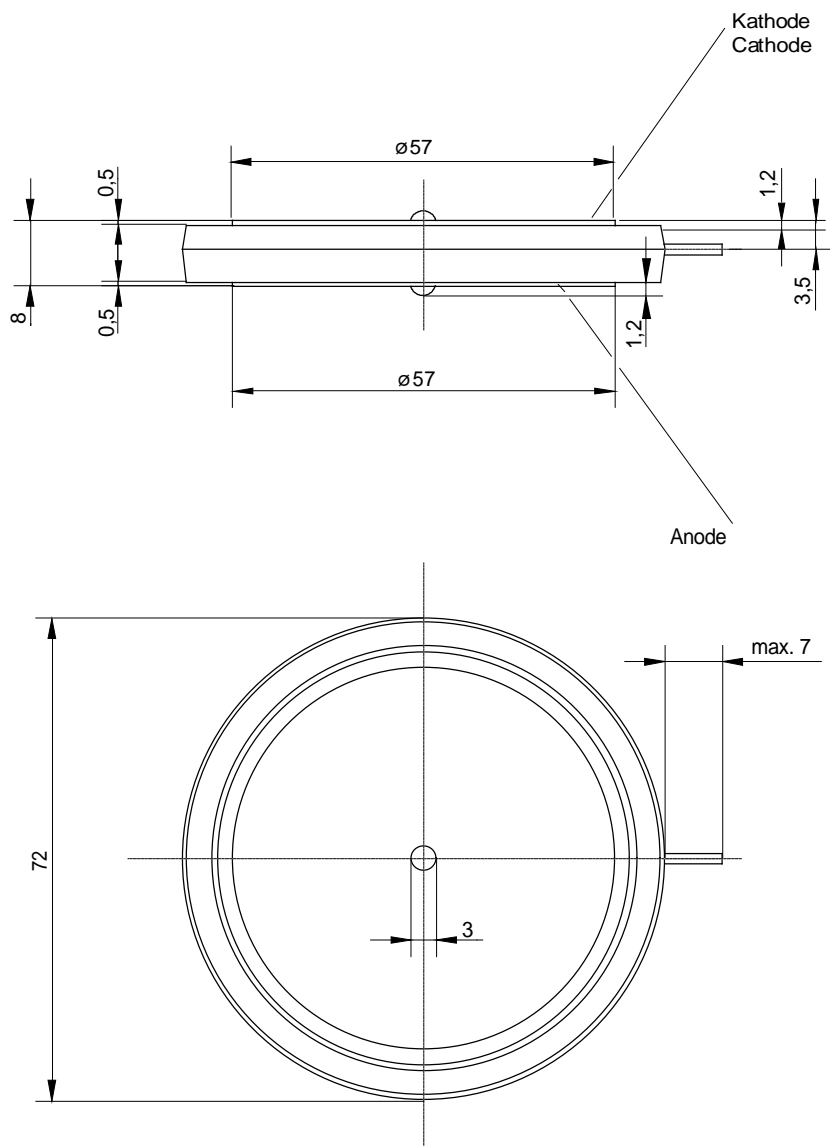


European Power-
Semiconductor and
Electronics Company
GmbH + Co. KG

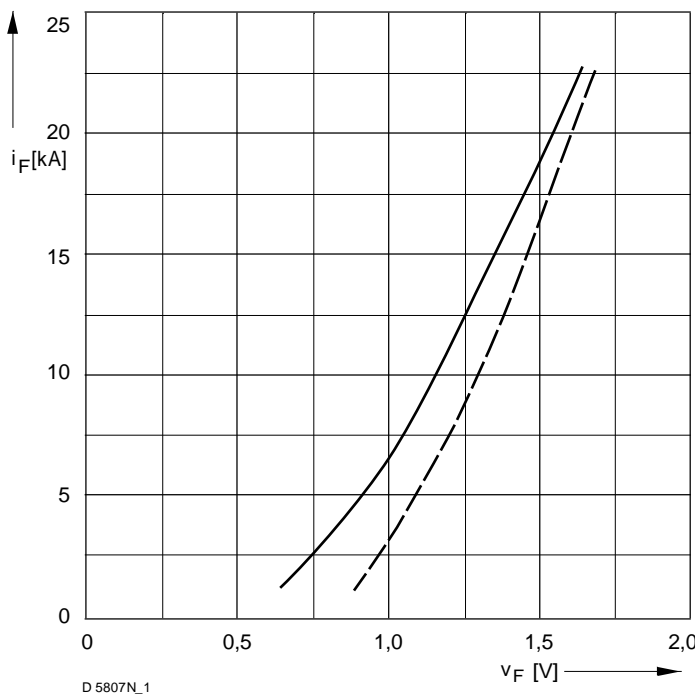
Leistungsgleichrichterdioden Power Rectifier Diodes D 5807 N



D 5807 N

Elektrische Eigenschaften	Electrical properties					
Höchstzulässige Werte	Maximum rated values					
Periodische Spitzensperrspannung	repetitive peak reverse voltage	$t_{vj} = -40^{\circ}\text{C} \dots t_{vj \max}$	V_{RRM}	200, 400	V	
				600	V	
Stoßspitzensperrspannung	non-repetitive peak reverse voltage	$t_{vj} = +25^{\circ}\text{C} \dots t_{vj \max}$	$V_{RSM} = V_{RRM}$	+ 50	V	
Durchlaßstrom-Grenzeffektivwert	RMS forward current		I_{FRMSM}	9,1	kA	
Dauergrenzstrom	mean forward current	$t_c = 108^{\circ}\text{C}$	I_{FAVM}	5,8	kA	
		$t_c = 130^{\circ}\text{C}$		4,47	kA	
Stoßstrom-Grenzwert	surge forward current	$t_{vj} = 25^{\circ}\text{C}, t_p = 10 \text{ ms}$	I_{FSM}	81	kA	
		$t_{vj} = t_{vj \max}, t_p = 10 \text{ ms}$		70	kA	
Grenzlastintegral	$I^2 t$ -value	$t_{vj} = 25^{\circ}\text{C}, t_p = 10 \text{ ms}$	$I^2 t$	32'800.000	A ² s	
		$t_{vj} = t_{vj \max}, t_p = 10 \text{ ms}$		24'500.000	A ² s	
Charakteristische Werte	Characteristic values					
Durchlaßspannung	on-state voltage	$t_{vj} = t_{vj \max}, i_F = 18 \text{ kA}$	V_T	max.	1,47	V
Schleusenspannung	threshold voltage	$t_{vj} = t_{vj \max}$	$V_{T(TO)}$		0,7	V
Ersatzwiderstand	slope resistance	$t_{vj} = t_{vj \max}$	r_T		0,04	mΩ
Sperrstrom	reverse current	$t_{vj} = t_{vj \max}, V_R = V_{RRM}$	i_R	max.	100	mA
Thermische Eigenschaften	Thermal properties					
Innerer Widerstand	thermal resistance, junction to case	beidseitig/two-sided, $\Theta = 180^{\circ} \text{ sin}$	R_{thJC}	max.	0,0098	°C/W
		beidseitig/two sided, DC		max.	0,0092	°C/W
		Anode/anode, $\Theta = 180^{\circ} \text{ sin}$		max.	0,0171	°C/W
		Anode/anode, DC		max.	0,0165	°C/W
		Kathode/cathode, $\Theta = 180^{\circ} \text{ sin}$		max.	0,0214	°C/W
		Kathode/cathode, DC		max.	0,0208	°C/W
Übergangs-Wärmewiderstand	thermal resistance,case to heatsink	beidseitig /two-sided einseitig /single-sided	R_{thCK}	max.	0,0025	°C/W
				max.	0,0050	°C/W
Höchstzul.Sperrsichttemperatur	max. junction temperature		$t_{vj \max}$		180	°C
Betriebstemperatur	operating temperature		$t_{c op}$		-40...+150	°C
Lagertemperatur	storage temperature		t_{stg}		-40...+150	°C
Mechanische Eigenschaften	Mechanical properties					
Si-Element mit Druckkontakt	Si-pellet with pressure contact	$\varnothing = 54 \text{ mm}$				
Anpreßkraft	clamping force	Gehäuseform/case design T	F		40...60	kN
Gewicht	weight		G	typ.	180	g
Kriechstrecke	creepage distance				5,5	mm
Feuchteklass	humidity classification	DIN 40040				C
Schwingfestigkeit	vibration resistance	$f = 50 \text{ Hz}$			50	m/s ²
Maßbild	outline					Seite/page

D 5807 N



Bild/Fig. 1
Grenzdurchlaßkennlinie
Limiting forward characteristic $i_F = f(v_F)$
— $t_{vj} = 180^\circ\text{C}$
- - - $t_{vj} = 25^\circ\text{C}$

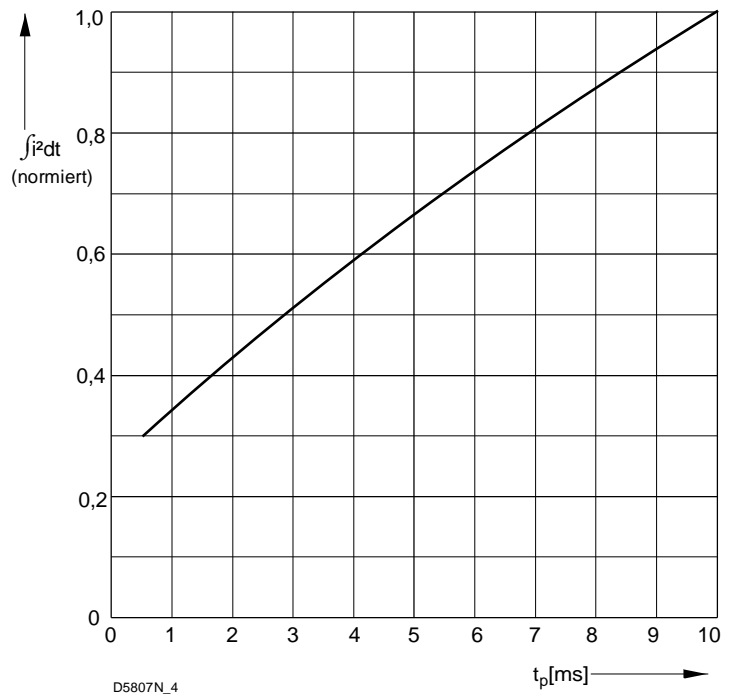


Bild / Fig. 2
Normiertes Grenzlastintegral / Normalized $\int i^2 dt$
 $\int i^2 dt = f(t_p)$

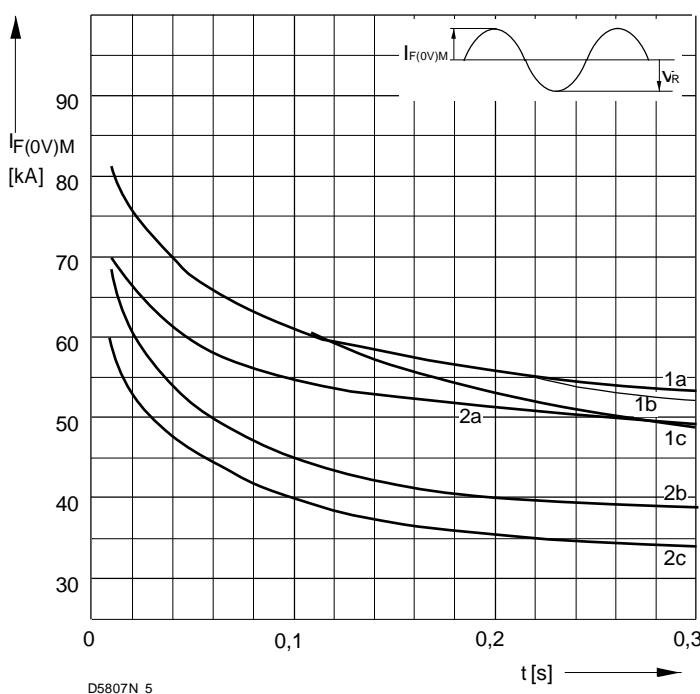


Bild / Fig. 3
Grenzstrom / Maximum overload forward current $I_F(0V)M = f(t)$
1 - $I_{FAV(\text{vor})} = 0 \text{ A}; t_{vj} = t_c = 25^\circ\text{C}$
2 - $I_{FAV(\text{vor})} = 5800 \text{ A}; t_c = 108^\circ\text{C}; t_{vj} = 180^\circ\text{C}$
a - $VR \leq 50 \text{ V}$
b - $VR = 0,5 VR_{RM}$
c - $VR = 0,8 VR_{RM}$

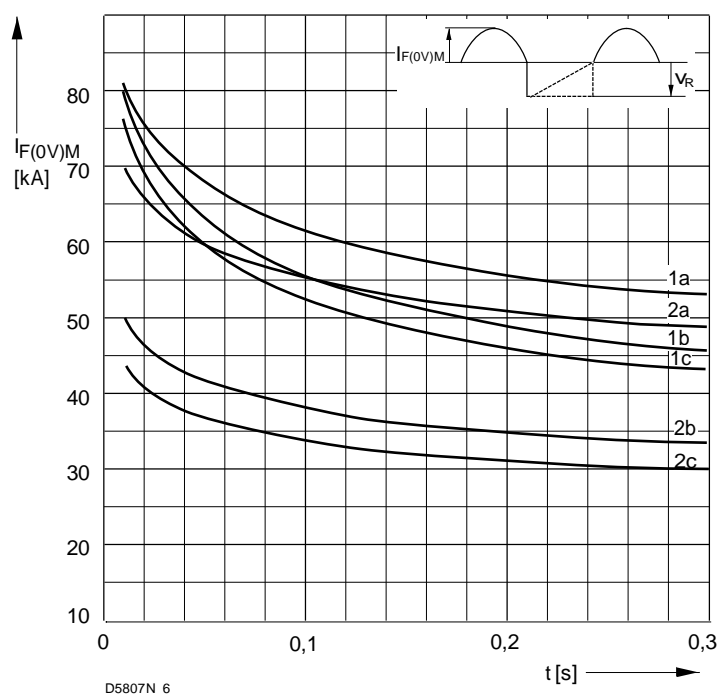


Bild / Fig. 4
Grenzstrom / Maximum overload forward current $I_F(0V)M = f(t)$
1 - $I_{FAV(\text{vor})} = 0 \text{ A}; t_{vj} = t_c = 25^\circ\text{C}$
2 - $I_{FAV(\text{vor})} = 5800 \text{ A}; t_c = 108^\circ\text{C}; t_{vj} = 180^\circ\text{C}$
a - $VR \leq 50 \text{ V}$
b - $VR = 0,5 VR_{RM}$
c - $VR = 0,8 VR_{RM}$

D 5807 N

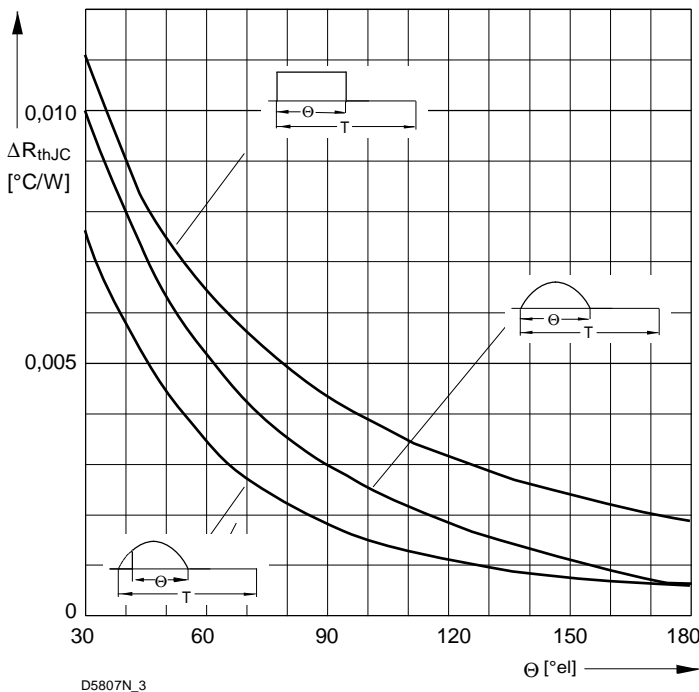


Bild / Fig. 5
Differenz zwischen den Wärmewiderständen für Pulssstrom und DC
Difference between the values of thermal resistance for pulse current and DC
Parameter: Stromkurvenform / Current waveform

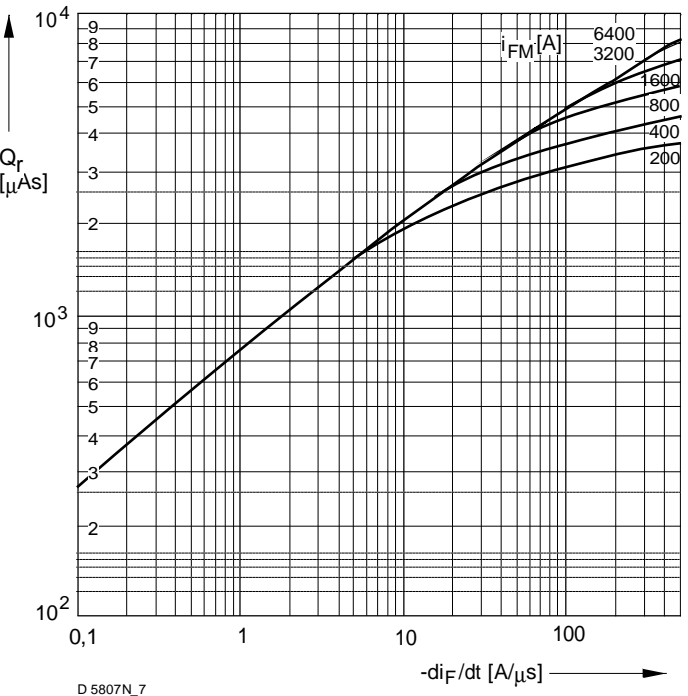


Bild / Fig. 6
Sperrverzögerungsladung / Recovered charge $Q_r = f(-di_F/dt)$
 $t_{vj} = tv_{jmax}$; $VR \leq 0,5 V_{RRM}$; $V_{RM} = 0,8 V_{RRM}$
Beschaltung / Snubber: $C = 3,3 \mu F$; $R = 1,5 \Omega$
Parameter: Durchlaßstrom / Forward current i_{FM}

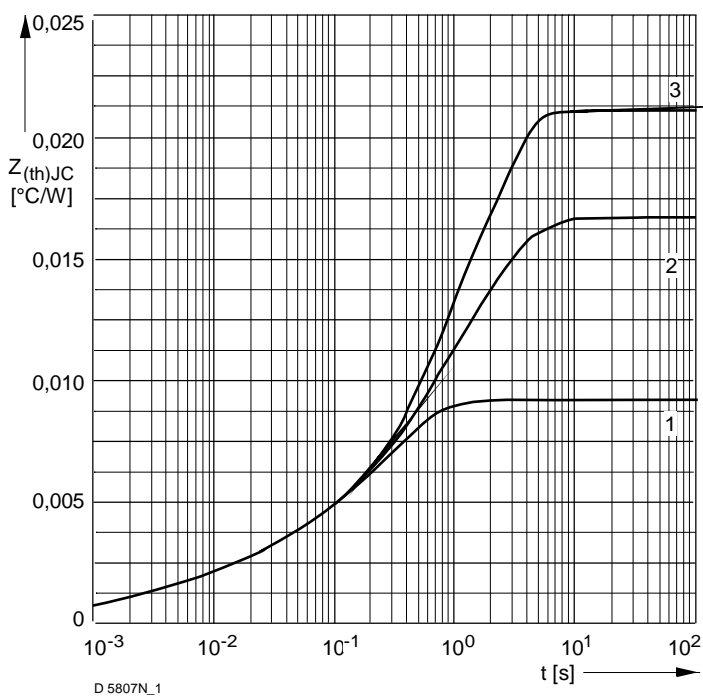


Bild / Fig. 7
Transienter innerer Wärmewiderstand
Transient thermal impedance $Z_{thJC} = f(t)$, DC
1 - Beidseitige Kühlung / Two-sided cooling
2 - Anodenseitige Kühlung / Anode-sided cooling
3 - Kathodenseitige Kühlung / Cathode-sided cooling

Analytische Elemente des transienten Wärmewiderstandes Z_{thJC} für DC
Analytical elements of transient thermal impedance Z_{thJC} for DC

Kühlg. Cooling	Pos. n	1	2	3	4	5	6	7
1	$R_{thn} \text{ } ^\circ\text{C/W}$	0,000016	0,000121	0,000939	0,000474	0,00116	0,00167	0,00482
	$\tau^n \text{ [s]}$	0,000018	0,000254	0,00111	0,00752	0,0227	0,107	0,324
2	$R_{thn} \text{ } ^\circ\text{C/W}$	0,000024	0,000685	0,000971	0,00106	0,00212	0,00316	0,00848
	$\tau^n \text{ [s]}$	0,000025	0,000642	0,00443	0,0344	0,096	0,54	1,64
3	$R_{thn} \text{ } ^\circ\text{C/W}$	0,000024	0,000634	0,000782	0,00205	0,00143	0,00238	0,0135
	$\tau^n \text{ [s]}$	0,000025	0,000621	0,00315	0,0316	0,243	0,846	1,42

- 1 - Beidseitige Kühlung / Two-sided cooling
- 2 - Anodenseitige Kühlung / Anode-sided cooling
- 3 - Kathodenseitige Kühlung / Cathode-sided cooling

Analytische Funktion / Analytical function

$$Z_{thJC} = \sum_{n=1}^{n_{max}} R_{thn} (1 - \text{EXP}(-t/\tau^n))$$